

محاسبه‌ی ضرایب هیدرودینامیکی مقاطع دو بعدی بدنه‌ی کشتی

داؤد تحوبلدارزاده (دانشجوی کارشناسی ارشد)

محمدسعید سیف (دانشیار)

دانشکده‌ی مهندسی مکانیک، دانشگاه صنعتی شریف

در این نوشتار روش محاسبه‌ی ضرایب هیدرودینامیکی مقاطع دو بعدی بدنه‌ی کشتی در حرکت قائم^۱ و حرکت عرضی^۲ در آبهای عمیق و سرعت پیش روی صفر مورد بررسی قرار گرفته است. در روش معرفی شده، ممکن است مقاطع کشتی شکل‌های هندسی متفاوتی داشته باشند. برای این منظور از حل جریان پتانسیل با سطح چندقطبی و نگاشت دوپارامتری لوبیس برای شبیه‌سازی ریاضی مقاطع بدنه‌ی کشتی بهره گرفته شده است. با استفاده از روش معرفی شده در این پژوهش، برنامه‌ی رایانه‌ی تهیه شده که قادر است ضرایب جرم افزوده و میرایی مقاطع کشتی را محاسبه کند. همچنین در پی مقایسه‌ی نتایج حاصل از این برنامه‌ی رایانه‌ی برای مقاطع دایره، مثلث و مستطیل‌شکل، صحت آنها مورد ارزیابی قرار گرفته است. برنامه‌ی رایانه‌ی تهیه شده محدودیتی از لحاظ شکل هندسی مقاطع نداشته و طبیعتاً می‌تواند در محاسبات هیدرودینامیکی کشتی‌ها با هرگونه شکل بدنه‌ی واقعی به کار گرفته شود.

فهرست علاطم

 θ : زاویه در صفحه‌ی z و γ Φ : تابع پتانسیل سرعت Ψ : تابع جریان P_{2m} و Q_{2m} : ضرایب بسط چندقطبی p : فشار وارد بر مقاطع کشتی δ : پارامتر فرکانس بدون بعد ($= \omega(B_s/2g)$) δ^2 : مریع فرکانس بدون بعد ($= \delta^2$) σ_a : نسبت نصف عرض مقاطع به فاکتور مقیاس ($= B_s/2M_s$) Y_a : دامنه نوسانات حرکت عرضی استوانه Z_a : دامنه نوسانات حرکت قائم استوانه

۱. مقدمه

کشتی‌ها در اثر برخورد امواج دریا حرکات قابل توجهی خواهند داشت. این حرکات برایمنی کشتی و خدمه، راحتی مسافران و خدمه، و نیز بر میزان مصرف سوخت و کارایی تجهیزات کشتی در محیط دریا تأثیرگذارند. بنابراین تخمین حرکات کشتی در دریا از اهمیت زیادی برخوردار است.

انجام این محاسبات در شناورهای نظامی از جنبه‌های دیگر -- از جمله فرود ایمن بالگردها و هواپیماها بر روی شناور، بهبود عملکرد دستگاه‌های ردیابی و بهبود قابلیت شلیک موشک و اژدر از روی شناور -- نیز مورد توجه قرار می‌گیرد. همچنین تخمین حرکات کشتی در مرحله‌ی طراحی آن نیز مهم است و مهندسان طراح اغلب برای

 M'_{22} : ضرایب پتانسیل دو بعدی جرم افزوده‌ی حرکت عرضی N'_{22} : ضرایب پتانسیل دو بعدی میرایی حرکت عرضی M'_{33} : ضرایب پتانسیل دو بعدی جرم افزوده‌ی حرکت قائم N'_{33} : ضرایب پتانسیل دو بعدی میرایی حرکت قائم a_{2n-1} : ضرایب نگاشت کانفورمال M_s : فاکتور مقیاس N : تعداد پارامترهای نگاشت کانفورمال M : تعداد ضرایب بسط چندقطبی A_s : مساحت مقاطع B_s : عرض مقاطع D_s : آبخور مقاطع H : نسبت نصف عرض به عمق ($= B_s/2D_s$) σ_s : ضرایب مساحت مقاطع ($= A_s/(B_s \cdot D_s)$) η_a : دامنه امواج ایجاد شده در فاصله‌ی بی‌نهایت از استوانه w : فرکانس امواج ν : عدد موج ($= \omega^2/g$) g : شتاب گرانشی ρ : چگالی سیال z : رویه‌ی مقاطع کشتی ($= x + iy$) x : مختصات منحنی تراز رویه‌ی مقاطع کشتی y : رویه‌ی مقاطع دایروی ($= ie^{-i\theta}$)

دو بعدی با اشکال هندسی مستطیل، مثلث و دایره در حرکات قائم و عرضی محاسبه شده‌اند. در این محاسبات، برای نمایش شکل هندسی مقاطع از نگاشت دو پارامتری لوثیس که فرم ساده‌شده نگاشت چند پارامتری کافورمال است، استفاده شده است. جرم افزوده ضریبی است که در اثر اعمال شتاب به ذرات آب نزدیک به استوانه در معادلات حرکت ظاهر می‌شود و دارای بعد جرم است. ضرایب میرایی سیال نیز در اثر استهلاک انرژی حرکتی جسم توسط سیال در معادلات حرکت ظاهر می‌شود و دارای بعد جرم در واحد زمان است.

۲. نگاشت کافورمال

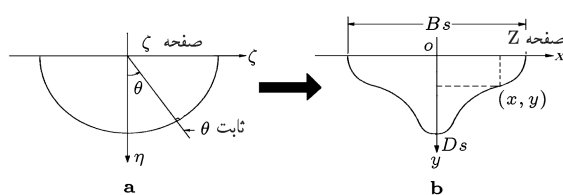
با استفاده از روش نگاشت کافورمال می‌توان هر مقطع دلخواهی از کشتی را به یک مقطع مدور تبدیل کرده، و سپس ضرایب جرم افزوده و میرایی آن را با روش آرسل به دست آورد. بر این اساس، با به کارگیری نگاشت رابط صفحه‌ی ζ (مقطع مدور) و صفحه‌ی z (مقطع کشتی)، تبدیل مختصات میان دستگاه مختصات دکارتی (y, z) در صفحه‌ی z و دستگاه مختصات صفحه‌ی ζ به دست می‌آید (شکل ۲).

مزیت نگاشت کافورمال آن است که پتانسیل حرکت سیال حول هر مقطع در صفحه‌ی ζ را می‌توان از تبدیل مقطع واقعی به یک مقطع مناسب‌تر در صفحه‌ی ζ که حل مسئله برای آن راحت‌تر است، تعیین کرد. با این روش، مسائل هیدرودینامیکی را می‌توان مستقیماً با ضرایب تابع نگاشت حل کرد.

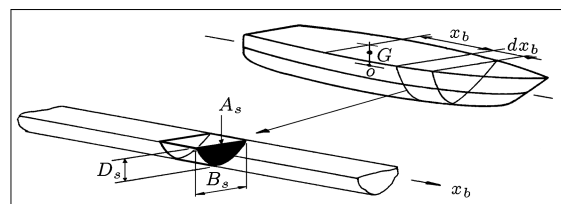
حل پتانسیل برای جریان حول یک مقطع مدور نوسان‌کننده به صورت هارمونیک با فرکانس اختیاری توسط آرسل ارائه شده است.^[۲] ضرایب پتانسیل آرسل تنها برای مقطع مدور معتبرند، و بنابراین برای تعیین ضرایب دو بعدی جرم افزوده و میرایی مقاطع کشتی در حرکات قائم و عرضی با استفاده از روش آرسل، مقطع باید به صورت یکنواخت به یک دایره‌ی واحد نگاشته شوند. فرمول بندی کلی تبدیل برای مقطع متقارن به صورت رابطه‌ی ۱ فرض می‌شود:

$$z = M_s \cdot \sum_{n=0}^N a_{2n-1} \zeta^{-(2n-1)} \quad (1)$$

در این رابطه مقدار ضرایب a_{-1} برابر ۱ است و مقدار فاکتور مقیاس



شکل ۲. نگاشت رابطه میان مقطع مدور در صفحه‌ی ζ و مقطع کشتی در صفحه‌ی z .



شکل ۱. تقسیم بدنه کشتی به نوارهای عرضی دو بعدی.

کسب قابلیت پیش‌بینی عملکرد شناور در مراحل اولیه طراحی، زمان و منابعی را اختصاص می‌دهند.

در روش‌های جدید سه بعدی، بررسی حرکات کشتی‌ها در امواج همانند روش‌های CFD^[۱,۲] اجزاء محدود با محدودیت‌های مواجه است و نیز هزینه و زمان انجام محاسبات در این روش‌ها بسیار زیاد است. بنابراین برای ساده‌تر کردن محاسبات اغلب از روش‌های دو بعدی بهره گرفته می‌شود. در این روش‌ها بدنه کشتی به مقاطع عرضی دو بعدی یا نوارهایی در راستای محور طولی کشتی تقسیم (شکل ۱)، و فرض می‌شود که این مقاطع هیچ اندرکنشی با یکدیگر ندارند. پارامترهای دو بعدی مربوط به هر مقطع با استفاده از نظریه‌های پتانسیل ارزیابی می‌شود و سپس با استفاده از نظریه‌های نواری از نیروهای وارد بر هر نوار انتگرال‌گیری شده و پارامترهای سه بعدی بدنه کشتی به دست می‌آیند. ضرایب جرم افزوده و میرایی از جمله پارامترهای دو بعدی مربوط به هر مقطع‌اند و تاکنون تلاش‌های فراوانی در جهت ارائه روشنی برای محاسبه‌ی این دو پارامتر را شده است. آرسل برای یک استوانه مدور بی‌نهایت طویل که با فرکانس اختیاری در سطح آزاد سیال ایده‌آل نوسان می‌کند، شیوه‌ی حل جریان پتانسیل را استخراج کرده است.^[۳] راه حل آرسل ترکیبی از توابع پتانسیل است که هریک از این توابع به تهابی در معادله لaplas و شرط خطی سطح آزاد صدق می‌کنند، در حالی که ترکیب خطی آنها باقی شرایط مرزی روی سطح استوانه مدور را راضا می‌کنند. عددی از محققین روش آرسل را برای مقاطع بیضوی و فرم‌های لوثیس^[۴-۵] و عددی دیگر نیز این روش را برای مقاطع با شکل دلخواه توسعه دادند.^[۶-۷] دیگر نیز این رابطه‌گیری‌های آزمایشگاهی محدودی نیز به منظور ارزیابی دقیق اندازه‌گیری‌های آزمایشگاهی محدودی نیز به منظور ارزیابی و فشارهای وارد بر استوانه‌های نوسان‌کننده را اندازه‌گیری کردند^[۸]، و عددی نیز آزمایشات جامعی بر روی استوانه‌های کشتی‌گونه، مثلثی و مستطیلی نوسان‌کننده — با سطح مقطع‌های متفاوت — انجام دادند.^[۹] آن‌ها خواص هیدرودینامیکی مرتبط با هر استوانه دو بعدی را در حرکات قائم، عرضی، و غلتکی عرضی^۳ تعیین و نتایج آن را با تخمین‌های نظریه‌ی جونگ مقایسه کرده‌اند.

در این نوشتار ضرایب هیدرودینامیکی جرم افزوده و میرایی مقاطع

مورد نظر امواجی در سطح آرام آب ایجاد می‌شود که به دلیل طبیل بودن استوانه، دو بعدی بوده و ترکیبی از امواج ایستا^۴ و امواج پیشرو^۵ فرض می‌شوند. سپس برای هر یک از این امواج یک تابع پتانسیل سرعت به دست خواهد آمد. تابع پتانسیل سرعت و تابع جریان کل امواج تولید شده توسط مقطعی از کشتی در حرکات قائم و عرضی در سطح استوانه نوسان کننده در آب آرام نسبت به مبدأ دستگاه مختصات $O(x, y, z)$ به صورت معادلات ۵ فرض می‌شود:

$$\Phi(\theta) = \frac{g\eta_a}{\pi\omega} \left[\begin{array}{l} \left(\phi_{B^c c}(\theta) + \sum_{m=1}^{\infty} P_m \phi_{A^c m}(\theta) \right) \cos(\omega t) \\ + \left(\phi_{B^c s}(\theta) + \sum_{m=1}^{\infty} Q_m \phi_{A^c m}(\theta) \right) \sin(\omega t) \end{array} \right]$$

$$\Psi(\theta) = \frac{g\eta_a}{\pi\omega} \left[\begin{array}{l} \left(\psi_{B^c c}(\theta) + \sum_{m=1}^{\infty} P_m \psi_{A^c m}(\theta) \right) \cos(\omega t) \\ + \left(\psi_{B^c s}(\theta) + \sum_{m=1}^{\infty} Q_m \psi_{A^c m}(\theta) \right) \sin(\omega t) \end{array} \right] \quad (5)$$

مباء دستگاه مختصات $O(x, y, z)$ بر سطح آرام آب منطبق بوده و محور x آن در راستای سرعت پیش روی کشتی، محور y در جهت جانبی و محور z به سمت بالا واقع شده است (شکل ۳). در معادلات ۵، عبارت η_a با دامنه نوسان استوانه در محدودت موردنظر متناسب است. ضرایب $\phi_{B^c s}$ و $\psi_{B^c s}$ در حرکات قائم و عرضی به صورت روابط ۶ و ۷ به دست می‌آینند:

• حرکت قائم

$$\phi_{A^c m}(\theta) = \cos(2m\theta)$$

$$-\frac{\xi_b}{\sigma_a} \cdot \sum_{n=0}^N \left\{ (-1)^n \frac{2n-1}{2m+2n-1} a_{2n-1} \cos((2m+2n-1)\theta) \right\}$$

$$\psi_{A^c m}(\theta) = \sin(2m\theta)$$

$$-\frac{\xi_b}{\sigma_a} \cdot \sum_{n=0}^N \left\{ (-1)^n \cdot \frac{2n-1}{2m+2n-1} \cdot a_{2n-1} \cdot \sin((2m+2n-1)\theta) \right\} \quad \phi_{B^c c}(\theta) = \pi \cdot \exp(-\nu \cdot y_*) \cdot \cos(\nu \cdot x_*)$$

$$\psi_{B^c c}(\theta) = \pi \cdot \exp(-\nu \cdot y_*) \cdot \sin(\nu |x_*|)$$

$$\psi_{B^c s}(\theta) = -\pi \cdot \exp(-\nu \cdot x_*) \cdot \cos(\nu \cdot x_*)$$

$$\phi_{B^c s}(\theta) = \pi \cdot \exp(-\nu \cdot x_*) \cdot \sin(\nu |x_*|)$$

(M_s) نیز از رابطه‌ی ۲ به دست می‌آید:

$$M_s = \frac{B_s / 2}{\sum_{n=0}^N a_{2n-1}} \quad (2)$$

جایگذاری $N = 2$ در رابطه‌ی ۱ تبدیلی بسیار ساده و در بسیاری موارد نسبتاً واقع‌بینانه برای فرم مقاطع بدنه، به نام تبدیل لوئیس را نتیجه خواهد داد. تبدیل دوپارامتری لوئیس برای یک مقطع به صورت روابط ۳ ارائه می‌شود:

$$x_* = M_s ((1 + a_1) \sin \theta - a_2 \sin 2\theta)$$

$$y_* = M_s ((1 - a_1) \cos \theta + a_2 \cos 2\theta) \quad (3)$$

در این روابط مقدار ضرایب نگاشت کانفورمال a_1 و a_2 که ضرایب لوئیس نیز نامیده می‌شوند، طوری محاسبه می‌شوند که عرض، عمق و مساحت مقطع تقریبی با مقدار آنها در مقطع واقعی برابر باشد. بنابراین جواب‌های قبل قبول برای a_1 و a_2 طبق روابط ۴ به دست می‌آیند:

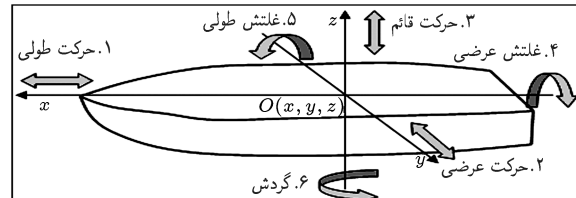
$$c_1 = 3 + \frac{4\sigma_s}{\pi} + \left(1 - \frac{4\sigma_s}{\pi} \right) \cdot \left(\frac{H_* - 1}{H_* + 1} \right)^2$$

$$a_1 = \frac{H_* - 1}{H_* + 1} (a_2 + 1), \quad a_2 = \frac{-c_1 + 3 + \sqrt{9 - 4c_1}}{c_1} \quad (4)$$

۳. حل جریان پتانسیل

یک کشتی در حالت کلی ۶ درجه آزادی خواهد داشت (شکل ۳). با نوشتن معادلات حرکت، ضرایب هیدرودینامیکی در درجات مختلف آزادی نمایان خواهند شد. در این بخش، روش محاسبه‌ی ضرایب هیدرودینامیکی دو بعدی در حرکت قائم و حرکت عرضی تشریح شده است. روش تعیین ضرایب هیدرودینامیکی مقاطع دو بعدی بدنه‌ی کشتی در حرکات قائم و عرضی برای مقطعی از کشتی در آب عمیق و سرعت پیش روی صفر توسط محققین مورد بررسی قرار گرفته است.^[۱۲]

در این روش‌ها، مقطع دو بعدی کشتی را به صورت استوانه‌ی بی‌نهایت طویلی در نظر می‌گیرند (شکل ۱) که به انجام حرکت هارمونیک قائم یا عرضی ساده در سطح آرام آب ودادشته می‌شود. برای نوسان استوانه‌ی



شکل ۳. درجات آزادی کشتی‌ها و سیستم مختصات.

۴. شرط تقارن در حرکت قائم، و عدم تقارن در حرکت عرضی نسبت به محور عمودی.

ضرایب P_{2m} و Q_{2m} در روابط ۵ را می‌توان با استفاده از شرایط مرزی خطی شده‌ی سطح آزاد در سطح منحنی ترازکشی و تابع جریان Ψ به دست آورد. بنابراین برای ضرایب P_{2m} و Q_{2m} در مد حرکت قائم، دستگاه معادلات ۸ و در مد حرکت عرضی، دستگاه معادلات ۱۰ به دست می‌آیند. برای حرکت قائم روابط عبارت‌اند از:

$$\begin{aligned} & \sum_{m=1}^M \left\{ Q_{2m} \cdot \int_0^{\pi/2} f_{2m}(\theta) \cdot f_{2n}(\theta) \cdot d\theta \right\} \\ & = \int_0^{\pi/2} \left(\psi_{B^s s}(\theta) - \frac{x_s(\theta)}{B_s/2} \cdot \psi_{B^s s}(\pi/2) \right) \cdot f_{2n}(\theta) \cdot d\theta \\ n & = 1, \dots, M \\ & \sum_{m=1}^M \left\{ P_{2m} \cdot \int_0^{\pi/2} f_{2m}(\theta) \cdot f_{2n}(\theta) \cdot d\theta \right\} \\ & = \int_0^{\pi/2} \left(\psi_{B^c c}(\theta) - \frac{x_c(\theta)}{B_c/2} \cdot \psi_{B^c c}(\pi/2) \right) \cdot f_{2n}(\theta) \cdot d\theta \\ n & = 1, \dots, M \end{aligned} \quad (8)$$

پارامتر $f_{2m}(\theta)$ در دستگاه معادلات (۸) را می‌توان از رابطه‌ی (۹) به دست آورد:

$$f_{2m}(\theta) = -\psi_{A^s m}(\theta) + \frac{x_s(\theta)}{B_s/2} \cdot \psi_{A^s m}(\pi/2) \quad (9)$$

برای حرکت عرضی نیز روابط ذیل به دست می‌آیند:

$$\begin{aligned} & \sum_{m=1}^M \left\{ Q_{2m} \cdot \int_0^{\pi/2} f_{2m}(\theta) \cdot f_{2n}(\theta) \cdot d\theta \right\} \\ & = \int_0^{\pi/2} (\psi_{B^s s}(\theta) - \psi_{B^s s}(\pi/2)) \cdot f_{2n}(\theta) \cdot d\theta \\ n & = 1, \dots, M \end{aligned}$$

$$\begin{aligned} & \sum_{m=1}^M \left\{ P_{2m} \cdot \int_0^{\pi/2} f_{2m}(\theta) \cdot f_{2n}(\theta) \cdot d\theta \right\} \\ & = \int_0^{\pi/2} (\psi_{B^c c}(\theta) - \psi_{B^c c}(\pi/2)) \cdot f_{2n}(\theta) \cdot d\theta \\ n & = 1, \dots, M \end{aligned} \quad (10)$$

$$\begin{aligned} & + \int_0^\infty \frac{\nu \cdot \cos(\nu \cdot y_s) + k \cdot \sin(k \cdot y_s)}{k^2 + \nu^2} \cdot \exp(-k|x_s|) \cdot dk \\ & + \int_0^\infty \frac{\nu \cdot \sin(k \cdot y_s) - k \cdot \cos(k \cdot y_s)}{k^2 + \nu^2} \cdot \exp(-k|x_s|) dk \end{aligned} \quad (6)$$

• حرکت عرضی

$$\begin{aligned} \phi_{A^s m}(\theta) & = \sin((2m+1)\theta) \\ & - \frac{\xi_b}{\sigma_a} \cdot \sum_{n=1}^N \left\{ (-1)^n \cdot \frac{2n-1}{2m+2n} \cdot a_{2n-1} \cdot \sin((2m+2n)\theta) \right\} \\ \psi_{A^s m}(\theta) & = -\cos((2m+1)\theta) \\ & + \frac{\xi_b}{\sigma_a} \cdot \sum_{n=1}^N \left\{ (-1)^n \cdot \frac{2n-1}{2m+2n} \cdot a_{2n-1} \cdot \cos((2m+2n)\theta) \right\} \\ \phi_{B^s c}(\theta) & = -\pi \cdot \exp(-\nu \cdot y_s) \cdot \sin(\nu \cdot |x_s|) \\ \psi_{B^s c}(\theta) & = \pi \cdot \exp(-\nu \cdot y_s) \cdot \cos(\nu \cdot |x_s|) \\ \phi_{B^s s}(\theta) & = \pi \exp(-\nu \cdot y_s) \cos(\nu \cdot x_s) \\ & - \int_0^\infty \frac{\nu \cos(k \cdot y_s) + k \sin(k \cdot y_s)}{k^2 + \nu^2} \cdot \exp(-k|x_s|) dk \\ & + \frac{|x_s|}{\nu(x_s^2 + y_s^2)} \\ \psi_{B^s s}(\theta) & = \pi \exp(-\nu \cdot y_s) \sin(\nu \cdot |x_s|) \\ & + \int_0^\infty \frac{\nu \sin(k \cdot y_s) - k \cos(k \cdot y_s)}{k^2 + \nu^2} \exp(-k|x_s|) dk \\ & - \frac{y_s}{\nu(x_s^2 + y_s^2)} \end{aligned} \quad (7)$$

با حل عددی انتگرال‌های موجود در ضرایب $\phi_{B^s s}(\theta)$ و $\psi_{B^s s}(\theta)$ هم‌گرایی بسیار آهسته‌ی صورت می‌گیرد. بنابراین از سری‌های توانی به دست آمده توسط پورتر می‌توان استفاده کرد.^[۸] از طرف دیگر، تابع پتانسیل سرعت دو بعدی رابطه‌ی ۵ باید شرایط زیر را ارضاء کند:

۱. معادله‌ی لاپلاس؛
۲. شرایط مرزی خطی شده‌ی سطح آزاد؛
۳. شرط انتشار در بی‌نهایت؛

پارامتر $f_{2m}(\theta)$ در دستگاههای معادلات (۱۰) برای حرکت عرضی P_{2m} جایگزین $\phi_{B^c_s}(\theta)$ و Q_{2m} جایگزین $\phi_{B^c_c}(\theta)$ می‌شود.

$$\begin{aligned} M_0 &= -\frac{1}{\sigma_a} \cdot \\ &\int_0^{\pi/2} \phi_{B^c_s}(\theta) \sum_{n=0}^N \left\{ (-1)^n \cdot (2n-1) \cdot a_{2n-1} \cdot \cos((2n-1)\theta) \right\} d\theta \\ &- \frac{1}{\sigma_a} \cdot \sum_{m=1}^M \left\{ (-1)^m \cdot Q_{2m} \right. \\ &\cdot \sum_{n=0}^N \left\{ \frac{(2n-1)^2}{(2m)^2 - (2n-1)^2} \right\} \cdot a_{2n-1} \right\} + \frac{\pi \xi_b}{4 \sigma_a^2} \\ &\left(Q_1 + \sum_{m=1}^N \left\{ \sum_{n=0}^{N-m} \left\{ (2n-1) \cdot a_{2n-1} \cdot a_{2m+2n-1} \right\} \right\} \right) \end{aligned} \quad (15)$$

۲.۳. ضرایب هیدرودینامیکی دو بعدی حرکت عرضی

نیروی هیدرودینامیکی دو بعدی جانبی وارد بر استوانه را می‌توان با انتگرال‌گیری از مؤلفه‌ی جانبی فشار هیدرودینامیکی وارد بر سطح S استوانه به دست آورد. نیروی هیدرودینامیکی دو بعدی افقی دارای مؤلفه‌های هم‌فاز با سرعت و شتاب افقی استوانه است که با استفاده از آن، ضرایب جرم افزوده و میرایی برای یک مقطع از کشته در حرکت عرضی به دست می‌آیند:

$$\begin{aligned} M'_{21} &= \frac{\rho B_s^2}{2} \cdot \frac{M_0 \cdot Q_0 + N_0 \cdot P_0}{P_0^2 + Q_0^2} \\ N'_{21} &= \frac{\rho \pi^2 B_s^2}{4} \cdot \frac{1}{P_0^2 + Q_0^2} \cdot \omega \end{aligned} \quad (16)$$

در روابط ۱۶ ضرایب P_0 و Q_0 از دستگاه معادلات ۱۰ به دست می‌آیند و ضریب M_0 از رابطه‌ی ۱۷ محاسبه می‌شود. N_0 نیز از رابطه‌ی شبیه به رابطه‌ی M_0 به دست می‌آید، با این تفاوت که در این رابطه شبیه به رابطه‌ی P_{2m} جایگزین $\phi_{B^c_s}(\theta)$ و Q_{2m} جایگزین $\phi_{B^c_c}(\theta)$ می‌شود.

$$\begin{aligned} M_0 &= -\frac{1}{\sigma_a} \cdot \\ &\int_0^{\pi/2} \phi_{B^c_s}(\theta) \sum_{n=0}^N \left\{ (-1)^n \cdot (2n-1) \cdot a_{2n-1} \cdot \sin((2n-1)\theta) \right\} d\theta \end{aligned}$$

پارامتر $f_{1m}(\theta)$ در دستگاههای معادلات (۱۰) برای حرکت عرضی P_{1m} نیز از رابطه (۱۱) به دست آورده:

$$f_{1m}(\theta) = \begin{cases} 2y_0/B_s & \text{for } m = 0 \\ -\psi_{A^c_{1m}}(\theta) + \psi_{A^c_{1m}}(\pi/2) & \text{for } m > 0 \end{cases} \quad (11)$$

سری‌های بی‌نهایت موجود در روابط ۵ و دستگاه معادلات ۸ و ۱۰ با افزایش مقدار m به سرعت هم‌گرا می‌شوند. بنابراین در عمل می‌توان با محاسبه‌ی مجموع تعداد محدودی از جملات این سری‌ها، مقادیر آنها را با دقت مناسب محاسبه کرد؛ مثلاً با محاسبه‌ی مجموع ۱۰ جمله‌ی اول می‌توان به دقت مورد نظر دست یافت. با حل دستگاه معادلات ۸ یا ۱۰ ضرایب P_{2m} و Q_{2m} برای حرکت قائم یا عرضی به دست می‌آیند؛ و بنابراین تابع پتانسیل سرعت کل به دست خواهد آمد. با استفاده از تابع پتانسیل سرعت کل و معادله‌ی خطی شده برونولی (معادله‌ی ۱۲) می‌توان فشار هیدرودینامیکی وارد بر سطح استوانه را محاسبه کرد:

$$p(\theta) = -\rho \cdot \frac{\partial \Phi(\theta)}{\partial t} \quad (12)$$

۳. ضرایب هیدرودینامیکی دو بعدی حرکت قائم

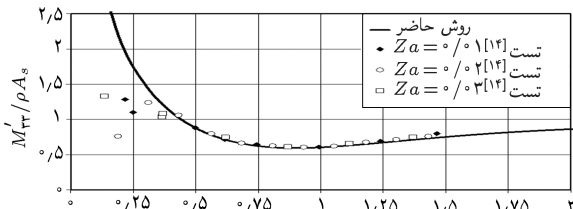
نیروی هیدرودینامیکی دو بعدی عمودی وارد بر استوانه را می‌توان با انتگرال‌گیری از مؤلفه‌ی عمودی فشار هیدرودینامیکی وارد بر سطح S استوانه به دست آورد. نیروی هیدرودینامیکی دو بعدی عمودی دارای مؤلفه‌های هم‌فاز با سرعت و شتاب عمودی استوانه است که با استفاده از آن، ضرایب جرم افزوده و میرایی برای یک مقطع از کشته در حرکت قائم به صورت زیر استخراج می‌شوند:

$$\begin{aligned} M'_{22} &= \frac{\rho \cdot B_s^2}{2} \cdot \frac{M_0 \cdot B_0 + N_0 \cdot A_0}{A_0^2 + B_0^2} \\ N'_{22} &= \frac{\rho \cdot \pi^2 \cdot B_s^2}{4} \cdot \frac{1}{A_0^2 + B_0^2} \cdot \omega \end{aligned} \quad (13)$$

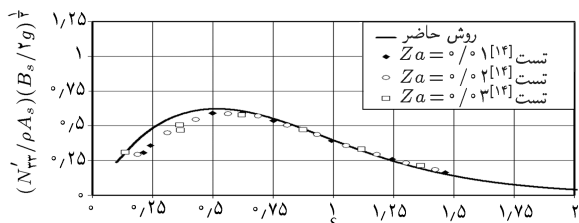
که در آن ضرایب A_0 و B_0 با استفاده از روابط ۱۴ محاسبه می‌شوند:

$$\begin{aligned} A_0 &= \psi_{B^c_c}(\pi/2) + \sum_{m=1}^{\infty} \left\{ P_{1m} \psi_{A^c_{1m}}(\pi/2) \right\} \\ B_0 &= \psi_{B^c_s}(\pi/2) + \sum_{m=1}^{\infty} \left\{ Q_{1m} \psi_{A^c_{1m}}(\pi/2) \right\} \end{aligned} \quad (14)$$

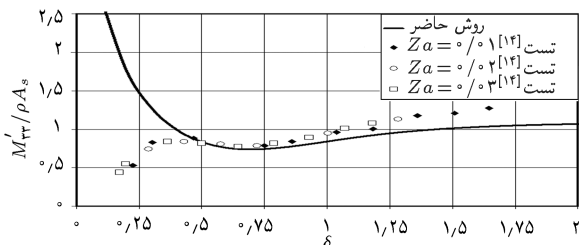
ضرایب P_{2m} و Q_{2m} نیز از دستگاه معادلات ۸ محاسبه می‌شوند. همچنانی ضریب M_0 از رابطه‌ی ۱۵ به دست می‌آید. N_0 نیز از رابطه‌ی شبیه به رابطه‌ی M_0 به دست می‌آید، با این تفاوت که در این رابطه



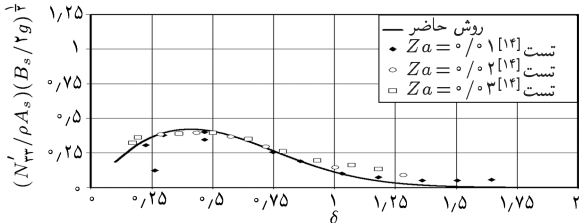
شکل ۵. ضریب بدون بعد جرم افزوده برای مقطع مدور در حرکت قائم.



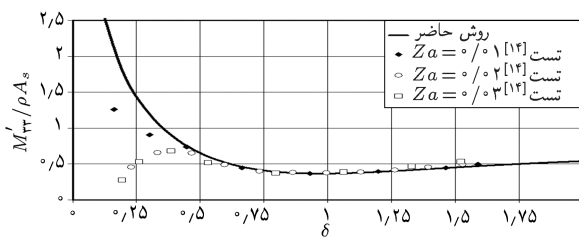
شکل ۶. ضریب بدون بعد میرایی برای مقطع مدور در حرکت قائم.



شکل ۷. ضریب بدون بعد جرم افزوده برای مقطع مستطیلی در حرکت قائم.



شکل ۸. ضریب بدون بعد میرایی برای مقطع مستطیلی در حرکت قائم.



شکل ۹. ضریب بدون بعد جرم افزوده برای مقطع مثلثی در حرکت قائم.

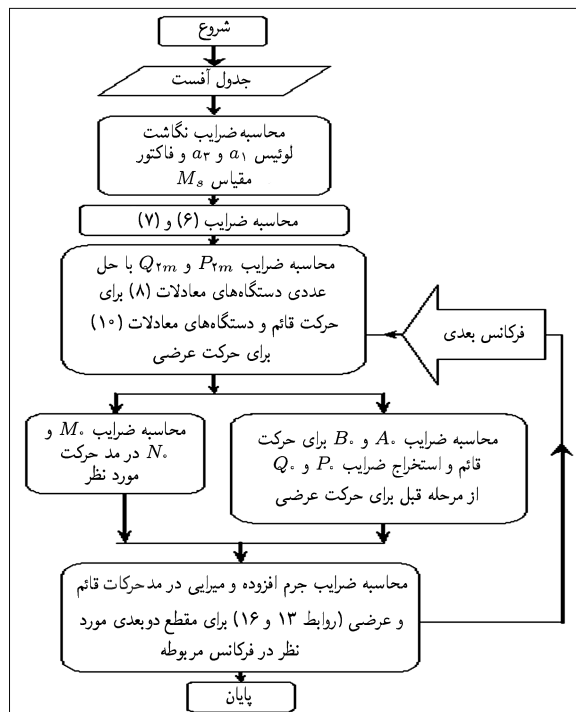
ضرایب بی بعد جرم افزوده و میرایی حرکت قائم در شکل‌های ۵ تا ۱۰ بر حسب فرکانس بی بعد نشان داده شده است. چنان که مشاهده می‌شود، نتایج حاصل از برنامه‌ی رایانه‌ی با نتایج تجربی برای هر سه مقطع دایره، مثلث و مستطیل مطابقت خوبی دارد. فقط در محدوده فرکانس‌های پایین، خصوصاً برای جرم افزوده، در شکل‌های ۷ و ۹ کمی اختلاف دیده می‌شود که ممکن است علت آن عدم دقیق در انجام

$$\begin{aligned}
 & + \frac{\pi}{4\sigma_a} \cdot \sum_{m=1}^{N-1} \left\{ (-1)^m \cdot Q_{2m} \cdot (2m+1) \cdot a_{2m+1} \right\} \\
 & + \frac{\zeta_b}{\sigma_a^2} \cdot \sum_{m=1}^M \left\{ (-1)^m \cdot Q_{2m} \cdot \sum_{n=0}^N \sum_{i=0}^N \left\{ \frac{(2n-1)(2i-1)}{(2m+2i)^2 - (2n-1)^2} \cdot a_{2n-1} \cdot a_{2i-1} \right\} \right\} \quad (17)
 \end{aligned}$$

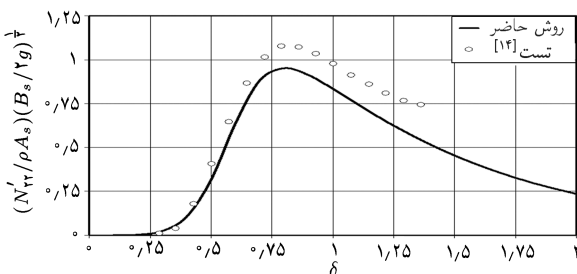
ضرایب هیدرودینامیکی اغلب به صورت بی بعد و بر حسب فرکانس بدون بعد (δ) بیان می‌شوند. ضرایب جرم افزوده و میرایی را می‌توان به ترتیب با استفاده از ضرایب ρA_s و $\rho A_s (2g/B_s)^{1/4}$ بی بعد کرد.

۴. نتایج عددی

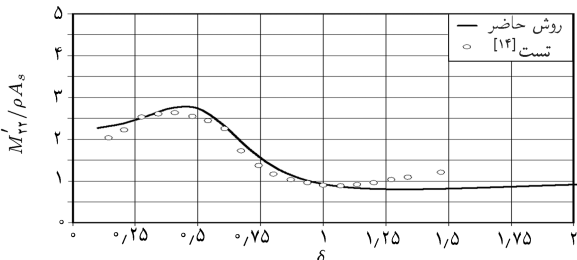
با استفاده از روش معرفی شده در این پژوهش، برای محاسبه‌ی ضرایب هیدرودینامیکی مقاطع دو بعدی بدهی کشته یک برنامه‌ی رایانه‌ی به زبان برنامه‌نویسی visual basic تهیه شده که الگوریتم آن در شکل ۴ نشان داده شده است. در شکل‌های ۵ تا ۱۶ نتایج حاصل از این برنامه‌ی رایانه‌ی برای مقاطعی با اشكال هندسی دایره، مثلث و مستطیل آورده شده است. در این نمودارها، نتایج حاصل از برنامه با داده‌های آزمایشگاهی موجود [۱۳] مقایسه شده است. مشخصات مقاطع در جدول ۱ آورده شده است.



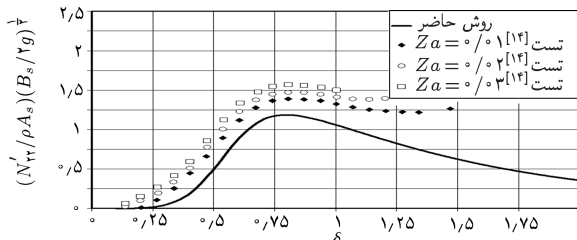
شکل ۴. الگوریتم نرم افزار.



شکل ۱۴. ضریب بدون بعد میرایی برای مقطع مستطیلی در حرکت عرضی.



شکل ۱۵. ضریب بدون بعد جرم افزوده برای مقطع مثلثی در حرکت عرضی.

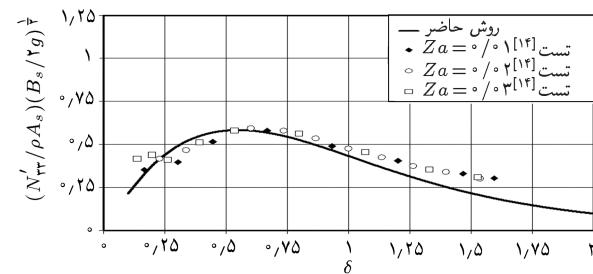


شکل ۱۶. ضریب بدون میرایی برای مقطع مثلثی در حرکت عرضی.

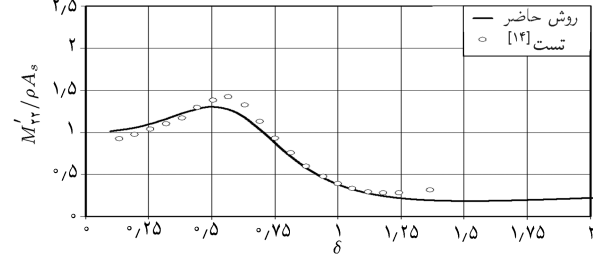
جدول ۱. نمونه‌ی مقاطع دو بعدی.^[۱۴]

مقطع عرضی			
دایره	مستطیل	مثلث	
۴,۱۹m	۴,۱۹m	۴,۱۹m	(L)
۰,۳۰m	۰,۴۰m	۰,۳۴۶m	(B)
۰,۱۵m	۰,۲۰m	۰,۳۰m	T آبخور
$\pi/4$	۰,۹۹۹۲	۰,۵۰	مساحت مقطع

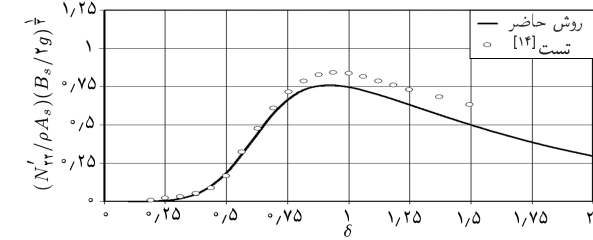
(شکل ۱۶) کمی اختلاف دیده می‌شود که این اختلافات با افزایش دامنه‌ی نوسانات افزایش می‌یابند، و علت آن را می‌توان چنین بیان کرد که در مقطع مثلثی به دلیل وجود لبه‌های تیز پدیده‌ی تشکیل گردابه وجود خواهد داشت که اثر آن با افزایش دامنه افزایش می‌یابد. بنابراین برای مقاطع مثلثی اثرات گران روی اهمیت می‌یابند که از این اثرات در نظریه‌ی جریان پتانسیل صرف نظر شده است. در محدوده‌ی فرکانسی مقاطع متداول در محدوده‌ی فرکانسی از دقت مناسب برخوردار است. این موضوع حاکم از آن است که ضرایب هیدرودینامیکی مقاطع متداول در محدوده‌ی حرکت قائم تا حد قابل قبولی به پارامترهای عرض، آبخور و مساحت مقطع وابسته‌اند.



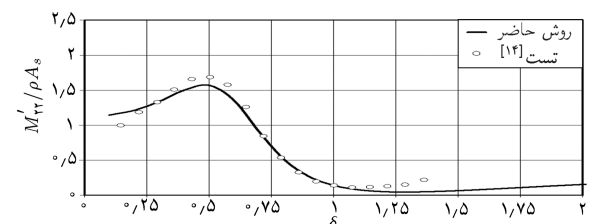
شکل ۱۰. ضریب بدون بعد میرایی برای مقطع مثلثی در حرکت قائم.



شکل ۱۱. ضریب بدون بعد جرم افزوده برای مقطع دور در حرکت عرضی.



شکل ۱۲. ضریب بدون بعد میرایی برای مقطع دور در حرکت عرضی.



شکل ۱۳. ضریب بدون بعد جرم افزوده برای مقطع مستطیلی در حرکت عرضی.

آزمایشات باشد.^[۱۲] بنابراین نگاشت دوباره‌تری لوبیس در محاسبه‌ی ضرایب جرم افزوده و میرایی مقاطع کشته در محدوده‌ی حرکت قائم در تمامی محدوده‌ی فرکانسی از دقت مناسب برخوردار است. این موضوع حاکم از آن است که ضرایب هیدرودینامیکی مقاطع متداول در محدوده‌ی حرکت قائم تا حد قابل قبولی به پارامترهای عرض، آبخور و مساحت مقطع وابسته‌اند. ضرایب بی بعد جرم افزوده و میرایی حرکت عرضی در شکل‌های ۱۱ تا ۱۶ برحسب فرکانس بی بعد نشان داده شده است. در حالت کلی نتایج حاصل از برنامه‌ی ریاضی، برای هر سه مقطع با نتایج تجربی مطابقت خوبی دارند. اما برای ضرایب میرایی در مقطع مثلثی

دست آمده است. براین اساس برای افزایش دقیق محاسبات در مدهای حرکت اشاره شده می‌توان از نگاشت کانفورمال چندپارامتری استفاده کرد. طبیعتاً به منظور بررسی کامل هیدرودینامیک حرکات شناورها، محاسبه‌ی ضرایب فوق برای حرکت غلتش عرضی مقطع دو بعدی نیز مورد نیاز خواهد بود؛ می‌توان روش فوق را برای این منظور تعمیم داد.

۵. نتیجه‌گیری

ضرایب جرم افزوده و میرایی مقاطع کشته را می‌توان با استفاده از تبدیل لوئیس و روش تشریح شده، با دقیق مناسبی محاسبه کرد. تبدیل لوئیس در حرکت قائم نتایج قابل قبولی در پی دارد. در حرکت عرضی نیز به غیر از مقطع مثلثی به علت وجود اثرات گران روی، نتایج نسبتاً خوبی به

پانوشت

1. heave motion
2. sway motion
3. roll motions
4. standing waves
5. progressive waves

منابع

1. Azcueta, R. "Computation of Turbulent Free-Surface Flows around Ships and Floating Bodies", Ph.D thesis, Hamburg-Harburg University (2001).
2. Takada, N., Miyata, H. and Sato, T. "CFD simulation of tree-dimensional motion of a vehicle with movable wings", In 7th International Conference on Numerical Ship Hydrodynamics, Nantes (1999).
3. Ursell, F. "On the heaving motion of a circular cylinder on the surface of a fluid", *Quarterly Journal of Mechanics and Applied Mathematics*, II., pp. 335-353 (1949).
4. Ursell, F. "On the rolling motion of cylinders in the surface of a fluid", *Quarterly Journal of Mechanics and Applied Mathematics*, II., pp. 218-231 (1949).
5. Tasai, F. "On the damping force and added mass of ships heaving and pitching", *Technical report, Research Institute for Applied Mechanics, Kyushu University*, Japan, VII(26), (1959).
6. Grim, O. "Berechnung der durch schwingungen eines schiffskörpers Erzeugten Hydrodynamischen Kräfte", Jahrbuch der Schiffbautechnischen Gesellschaft, pp. 277-299 (1953).
7. Grim, O. "Oscillation of buoyant two dimensional bodies and the calculation of the hydrodynamic forces", *Technical Report HSVA-Bericht 1171, HSVA*, Hamburg, Germany (1959).
8. Porter, W.R. "Pressure distribution, added mass and damping coefficients for cylinders oscillating in a free surface", *Technical Report 82, University of California, Institute of Engineering Research, Berkeley, California*, USA (1960).
9. Tasai, F. "Formula for calculating hydrodynamic Force on a cylinder heaving in the free surface (N-Parameter Family)", *Technical report, Research Institute for Applied Mechanics, Kyushu University*, Japan. VIII(31), pp. 71-74 (1960).
10. Tasai, F. "Hydrodynamic force and moment produced by swaying and rolling oscillation of cylinders on the free surface", *Technical report, Research Institute for Applied Mechanics, Kyushu University*, Japan, IX(35), (1961).
11. Jong, B. de. "Computation of hydrodynamic coefficients of oscillating cylinders", *Technical Report 145-S, Netherlands Ship Research Centre TNO, Shipbuilding Department, Delft*, The Netherlands (1973).
12. Paulling, J.R. and Richardson, R.K., "Measurements of pressure, forces and radiating waves for cylinders oscillating in a free surface", University of California, Institute of Engineering Research, Berkley, Series 82, no.23(1962).
13. Vugts, Ir.J.H. "The hydrodynamic coefficients for swaying, heaving and rolling cylinders on a free surface", *Int. Shipbldg. Prog.* 15, pp. 251-276 (1968).
14. Journee, J.M.J. "Theoretical manual of SEAWAY", Release 4.19, Delft University of Technology, Netherlands (2001).